

B. fragilis ファージの指標性に関する研究

Application of *Bacteroides fragilis* phage as an alternative indicator of sewage pollution

森田重光

麻布大学大学院環境保健学研究科

Shigemitsu Morita

Graduate school of environmental health, Azabu university

Abstract. Knowledge of the level of water pollution by viruses and protozoa is important for risk assessment. However, it takes high level techniques and a long time to quantify these microorganisms. Hence, we examined whether *Bacteroides fragilis* phage, easy to quantify and regularly detected in raw sewage, can be used as indicator organisms for viruses and protozoa.

Adenovirus, Sapovirus, Cryptosporidium, Giardia, and *Bacteroides fragilis* phage in raw sewage flowing into a waste water treatment plant and in the effluent were quantified to determine correlations between the concentrations. The analysis found that the concentrations of *Bacteroides fragilis* phage were correlated with those of Adenovirus, Cryptosporidium, and Giardia and the result suggested that *Bacteroides fragilis* phage can be used as indicators for the microorganisms.

In addition, removal rates by the waste water treatment were calculated from the concentrations of the microorganisms in the raw sewage and the effluent. The calculation showed a correlation between the removal rate of Adenovirus and that of *Bacteroides fragilis* phage.

Although the present scarcity of available data does not warrant a definitive conclusion, *Bacteroides fragilis* phage seems to be able to serve as an indicator for Adenovirus.

1. 研究の目的

ウイルス及び原虫による水環境の汚染レベルや下水処理による除去率を知ることはリスク評価上重要なが、これらの微生物を定量するためには高度な技術と長時間を要する分析作業が必要である。これまでにF特異大腸菌ファージや体表面吸着大腸菌ファージの糞便汚染に対する指標性などが検討されているが、これまでの研究から、これらのファージには指標性がないと考えられている。

そこで、我々は定量が容易で下水中から定常的に検出される *Bacteroides fragilis* ファージのウイルス (Adenovirus, Sapovirus) 及び原虫 (Cryptosporidium,

Giardia) に対する指標性について検討した。

2. 方 法

2.1 試料

標準活性汚泥法で処理している下水処理場で流入下水（または最初沈殿池出口水）と放流水を採取した。流入下水は4L、放流水は42L採取した。なお、放流水中には塩素が含まれることから、試料採取時にチオ硫酸ナトリウムで塩素を中和した。

2.2 微生物の定量

2.2.1 ウイルス

下水試料、養豚場排水試料及び環境水試料の一次

濃縮は、陰電荷膜吸着・酸洗浄・アルカリ誘出法を用いた。すなわち、各試料に対し終濃度 25 mM となるように MgCl₂ を添加した後、セルロースアセテート混合エスティル製メンブレンフィルター（孔径 0.45 μm ; Millipore）を用いて吸引ろ過をおこない、水中のウイルスをフィルターに吸着させた。続いてそのフィルターを 0.5 mM H₂SO₄ (pH 3.0) を用いて洗浄し、最後に 1 mM NaOH (pH 10.8) 10 mL を用いてフィルターに吸着したウイルスを遠沈管内に誘出した。遠沈管内には中和液として 50 μL の 100 mM H₂SO₄ 及び 100 μL の 100x Tris-EDTA をあらかじめ入れておいた。なお、濁質の多い流入生下水、最初沈殿池出口水、養豚場排水処理水及び一部の環境水試料は初めに GF/D (Whatman) を用いてろ過し、そのろ液を一次濃縮に供した。さらに、より濁質の多い養豚場排水流入水は 3,000 rpm で 15 分間遠心分離の後、上清を GF/F (Whatman) を用いてろ過し、そのろ液を一次濃縮に供した。

1 次濃縮の結果得られた濃縮液 10 mL は遠心式フィルターユニットである Centriprep YM-50 (Millipore) を用いた 2 次濃縮に供した。1 次濃縮液の全量をサンプルコンテナに移し 3,000 rpm で 10 分間遠心の後、ろ液を捨て、さらに 3,000 rpm で 5 分間遠心してく 1 mL を得た。

つづいて、濃縮液中のウイルス核酸を QIAamp DNA mini kit (Qiagen) あるいは QIAamp Viral RNA mini kit (Qiagen) のスピンドロトコールに従って抽出した。いずれの試料も DNA 抽出供試量は 200 μL, RNA 抽出供試量は 140 μL であり、それぞれ抽出液 200 μL 及び 60 μL を得た。RNA 抽出液 60 μL のうち、10 μL を逆転写反応液 10 μL と混合した。

本研究では TaqMan PCR 法を用いて AdV40/41 DNA, SaV cDNA 及び HEV cDNA の検出をおこなった。定量は 7500 Real-Time PCR System (Applied Biosystems) を用いた。

2.2.2 原虫

流入下水を入れたポリタンクを転倒させながら試料を十分に混合した後にポリプロピレン製遠沈管（以下遠沈管）8 本に 50 mL ずつ分注し、ここにトレーサー懸濁液を 625 μL ずつ添加してボルッテクスミキサーで攪拌した。その後、遠心分離（1,500 × g,

15 分間、4 °C）し、上清 25 mL をアスピレーターで吸引除去した。

放流水は試料を入れた各タンクにトレーサー懸濁液を 5 ~ 10 mL ずつ添加し、よく混合した後、その全量を酢酸セルロース製外圧型中空糸限外ろ過膜モジュール (DAICEN MEMBRANE-STSYSTEMS, LTD) へ加圧ポンプを用いて通水しろ過した。ろ過後、モジュール内の液量が 100 mL 程度になるまで空気を圧送し、残った溶液を用いて膜表面に捕捉された物質を洗浄した。そして、その洗浄液を 2 本の遠沈管に分注した。その後、モジュール内へカプセル誘出液を約 100 mL 注入して振盪洗浄し、その洗浄液を 2 本の遠沈管に分注した。さらにモジュール内に精製水を約 100 mL ずつ 2 回に分けて注入し、その洗浄液を 2 本の遠沈管に分注した。これらの操作で得られた計 8 本の遠沈管を遠心分離し、沈渣を 2 本の遠沈管にまとめた。そして再び遠心分離し、上清を吸引除去して 1 本の遠沈管に沈渣をまとめた。

試料中に存在する *Cryptosporidium* オーシストや *Giardia* シストは夾雜物に吸着あるいは抱合されている可能性があるため、流入生下水及び放流水を出力 300 W の超音波洗浄機 (ULTRASONIC GENERATOR, SHARP 製) に 3 分間かけて、夾雜物からオーシスト及びシストを遊離させた。

超音波処理を行った試料を直ちにボルッテクスミキサーで攪拌した後、内径 2 mm のシリコンチューブを先端につけたシリングを用いて各遠沈管の底へショ糖溶液（比重 1.20）を全量が 50 mL となるまで慎重に注入し界面を形成させた。これらの遠沈管を遠心分離した後、液面から界面下 7.5 mL までの溶液をシリコンコーティングしたパストールピペットを用いて新しい遠沈管に分取した。これに PBS (+) を加えて全量を 50 mL とした後、遠心分離して上清を吸引除去する操作を繰り返し、ショ糖を除去した。

精製した試料をボルテクスミキサーで良く攪拌した後、複数枚（1 試料につき十数枚程度）のセルロースアセテート製メンブランフィルター（孔径 3.0 μm, 直径 25 mm, ADVANTEC TOYO 製）を用いて吸引ろ過した。フィルターの縁には撥水ペン (DAKO Pen DAKO 製) を用いて円を描き、さらにその内側に直径約 1.5 cm の円を描いた。試料をろ過した後、10 mL の PBS で洗浄し、半数のフィルターに

0.4 µg/mL DAPI (4',6-Diamidino-2-phenylindole Dihydrochloride n-Hydrate) 染色液を 100 µL 滴下した。反応時間は 3 分間とし、その後 2 mL の PBS で洗浄した。

全てのフィルターに PBS で 3 倍希釈した *Cryptosporidium*, *Giardia* 用直接染色抗体試薬 (Easy StainTM C & G FITC, BTF, LTD) を 80 µL 滴下し、暗所、室温、湿潤条件下で 45 分間反応させた。反応後、2 mL の洗浄液 (Easy StainTM Fixing Buffer) で洗浄し、30 % 及び 90 % エタノール-グリセリン溶液をそれぞれ 500 µL ずつ吸引してフィルターを脱水した。脱水後、フィルターを 2 % DABCO (1,4-Diazabicyclo [2.2.2] octane) グリセリン封入剤を滴下したスライドグラスにのせ、カバーグラスをかけてプレパラートとした。

ノマルスキーメンツ干渉装置付き落射蛍光顕微鏡 (BX-60, OLYMPUS 社製) を用いてプレパラートにした試料を観察した。まず、B 励起光下 200 倍で観察し、アップルグリーン色の蛍光を発する 4 ~ 6 µm あるいは 9 ~ 15 µm の類円形または楕円形の蛍光粒子を検索した。該当した蛍光粒子は 400 倍及び 1,000 倍の干渉像で *Cryptosporidium* オーシストあるいは *Giardia* シストであるか否かの判定を行った。

2.4 *Bacteroides fragilis* ファージ

BPRM (Bacteroides Phage Recovery Medium) 寒天の上に、溶解した ssBPRM 培地 2.5 ml につき 1 mL の試料を添加してよく攪拌した溶液を重層した。そして 36 °C の嫌気ジャーの中で 44 時間培養し、プラー

クを計数した。

2.5 除去率の算出

生下水中の微生物濃度と放流水中の微生物濃度との比から除去率を算出した。

3. 結果及び考察

3.1 ウイルス濃度

流入下水中の Adenovirus 及び Sapovirus 濃度を図 1 に示す。Adenovirus も Sapovirus も冬期に高い傾向を示したが、放流水については特に季節的な傾向は見られず、データの多くが検出下限値以下の値であった。

流入下水中の Adenovirus 及び Sapovirus 濃度を図 2 に示す。*Bacteroides fragilis* ファージ濃度と Adenovirus 濃度との間には相関 ($r^2 > 0.90$) が認められたが、Sapovirus 濃度と *Bacteroides fragilis* ファージ濃度との間には相関が認められなかった。

データ数が少ないので断定的な結論はだせないが、*Bacteroides fragilis* ファージは Adenovirus の指標となる可能性があると考えられる。

3.2 原虫濃度

流入下水中の *Cryptosporidium* オーシスト及び *Giardia* シスト濃度を図 3 に示す。冬期 (1, 2 月) に欠測となったため季節変動について言及することは困難であるが、*Cryptosporidium* オーシストも *Giardia* シストも 11 月から 12 月にかけて増加し、3 月から 5 月にかけて減少していることから (流入下水中の 4

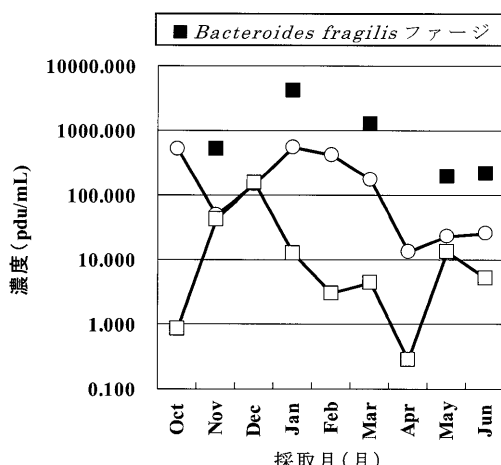


図 1 流入下水中のウイルス濃度

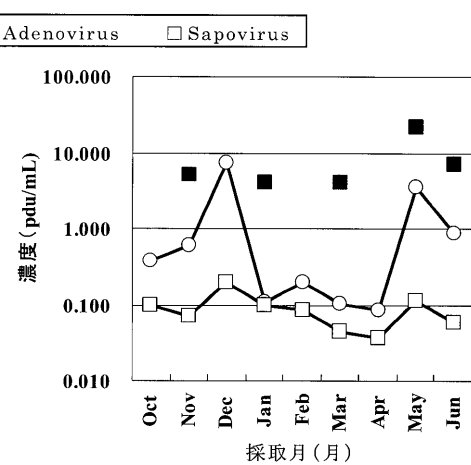


図 2 放流水中のウイルス濃度

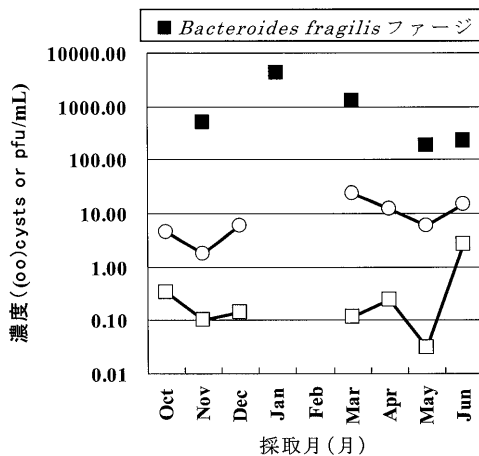


図3 流入下水中的原虫濃度

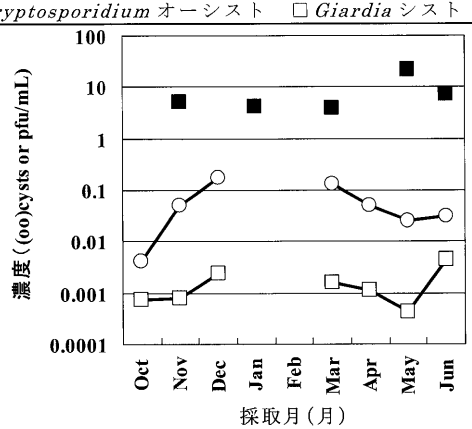


図4 放流水中の原虫濃度

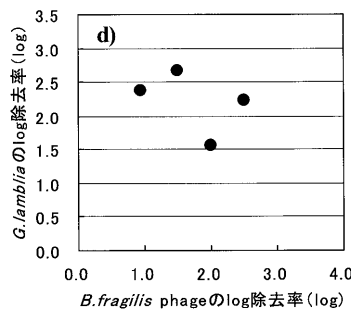
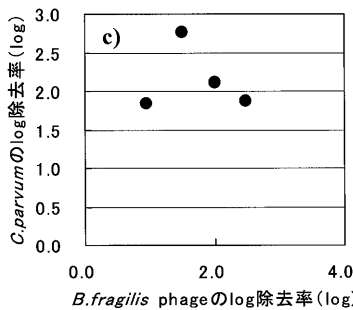
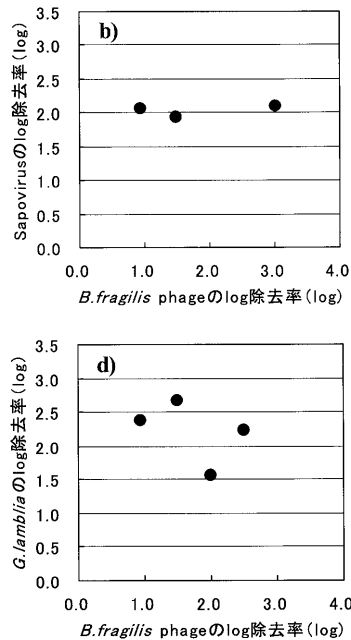
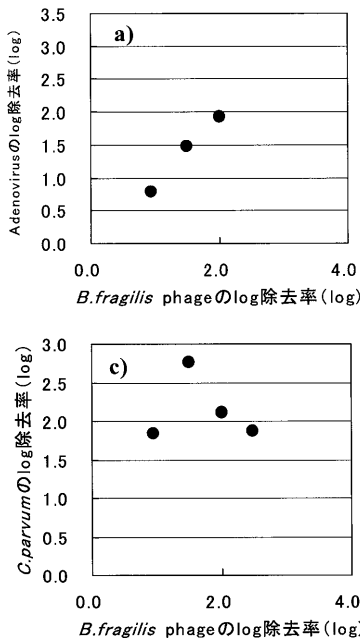


図5 Bacteroides fragilis ファージの log 除去率と原虫、ウイルスの log 除去率との関係、a) vs. Adenovirus, b) vs. Sapovirus, c) vs. Cryptosporidium オーシスト, d) vs. Giardia シスト

月の Giardia シスト濃度を除く) 冬期に高くなる可能性がある。

放流水中の Cryptosporidium オーシスト及び Giardia シスト濃度を図4に示す。流入下水と同様に冬期(1, 2月)に欠測となったため季節変動について言及することは困難であるが、Cryptosporidium オーシストも Giardia シストも 10月から 12月にかけて増加し、3月から 5月にかけて減少していることから冬期に高くなる可能性がある。

流入下水中の Bacteroides fragilis ファージ濃度と Cryptosporidium オーシスト濃度、Giardia シスト濃度

との間には相関 ($r^2 > 0.90$) が認められたが、放流水中の濃度では相関が認められなかった。

ウイルスの場合と同じくデータ数が少ないので断定的な結論はだせないが、Bacteroides fragilis ファージ濃度は流入下水中の Cryptosporidium オーシスト及び Giardia シスト濃度の指標となる可能性があると考えられる。

3.2 除去率

下水処理による Bacteroides fragilis ファージの除去率とウイルス、原虫の除去率との関係を図5に示す。

Bacteroides fragilis ファージの除去率と Adenovirus の除去率との間に相関が見られた。この結果から下水処理による *Bacteroides fragilis* ファージの除去性は Adenovirus に近いものと考えられる。

4. 要 約

環境水中におけるウイルス及び原虫濃度、下水処理によるウイルス及び原虫除去に関する *Bacteroides fragilis* ファージの指標性を評価したところ現在まで

に以下の知見が得られた。

1. 流入下水中の Adenovirus, Cryptosporidium オースト, Giardia シストの指標となりうる。
2. 下水処理による除去性は Adenovirus に近いものと考えられる。

参考文献

- Rosa, A. et al., *J. Virol. Meth.*, 93, 127-136 (2001)
Anonymous, ISO/DIS 10705-4 (1999)